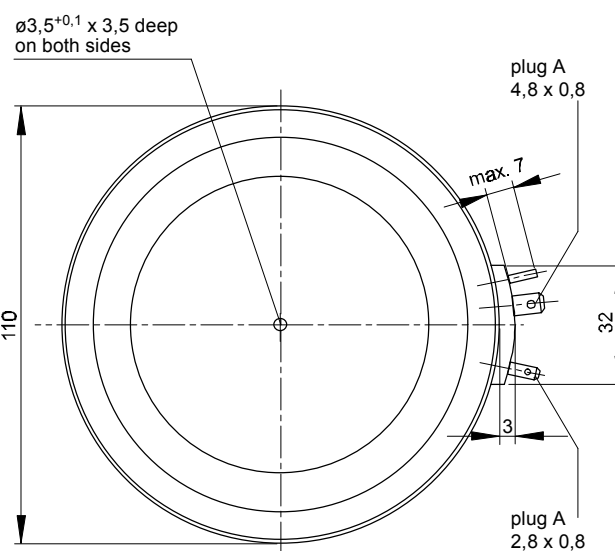
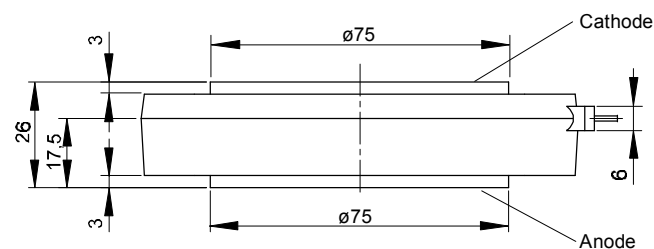




European Power-
Semiconductor and
Electronics Company

Marketing Information T 2709 N



T 2709 N

Elektrische Eigenschaften		Electrical properties			
Höchstzulässige Werte		Maximum rated values			
Periodische Vorwärts-Rückwärts-Spitzenperrspannung	und repetitive reverse voltages	peak forward off-state and $t_{vj} = -40^\circ\text{C} \dots t_{vj \max}$	V_{DRM}, V_{RRM}	1600 2000	1800 V
Vorwärts-Stoßspitzenperrspannung	non-repetitive voltage	peak forward off-state $t_{vj} = -40^\circ\text{C} \dots t_{vj \max}$	V_{DSM}	1600 2000	1800 V
Rückwärts-Stoßspitzenperrspannung	non-repetitive peak reverse voltage	$t_{vj} = +25^\circ\text{C} \dots t_{vj \max}$	V_{RSM}	1700 2100	1900 V
Durchlaßstrom-Grenzeffektivwert	RMS on-state current		I_{TRMSM}	5800 A	
Dauergrenzstrom	average on-state current	$t_c = 85^\circ\text{C}$ $t_c = 61^\circ\text{C}$	I_{TAVM}	2709 A	
Stoßstrom-Grenzwert	surge current	$t_{vj} = 25^\circ\text{C}, t_p = 10 \text{ ms}$ $t_{vj} = t_{vj \max}, t_p = 10 \text{ ms}$	I_{TSM}	3700 A 54000 A ¹⁾ 50000 A ¹⁾	
Grenzlastintegral	$I^2 t$ -value	$t_{vj} = 25^\circ\text{C}, t_p = 10 \text{ ms}$ $t_{vj} = t_{vj \max}, t_p = 10 \text{ ms}$	$I^2 t$	14,58 · 10 ⁶ A ² s 12,5 · 10 ⁶ A ² s	
Kritische Stromsteilheit	critical rate of rise of on-state current	DIN IEC 747-6, $f = 50 \text{ Hz}$	$(di_T/dt)_{cr}$	200 A/ μ s	
Kritische Spannungssteilheit	critical rate of rise of off-state voltage	$I_{GM} = 1 \text{ A}, di_G/dt = 1 \text{ A}/\mu\text{s}$ $t_{vj} = t_{vj \max}, v_D = 0,67 V_{DRM}$	$(dv_D/dt)_{cr}$	5.Kennbuchstabe/5th letter F	1000 V/ μ s
Charakteristische Werte		Characteristic values			
Durchlaßspannung	on-state voltage	$t_{vj} = t_{vj \max}, i_T = 11000 \text{ A}$	v_T	max. 2,35 V	
Schleusenspannung	threshold voltage	$t_{vj} = t_{vj \max}$	$V_{T(TO)}$	0,9 V	
Ersatzwiderstand	slope resistance	$t_{vj} = t_{vj \max}$	r_T	0,125 m Ω	
Zündstrom	gate trigger current	$t_{vj} = 25^\circ\text{C}, v_D = 6 \text{ V}$	I_{GT}	max. 250 mA	
Zündspannung	gate trigger voltage	$t_{vj} = 25^\circ\text{C}, v_D = 6 \text{ V}$	V_{GT}	max. 2 V	
Nicht zündender Steuerstrom	gate non-trigger current	$t_{vj} = t_{vj \max}, v_D = 6 \text{ V}$	I_{GD}	max. 10 mA	
Nicht zündende Steuerspannung	gate non-trigger voltage	$t_{vj} = t_{vj \max}, v_D = 0,5 V_{DRM}$	V_{GD}	max. 5 mA	
Haltestrom	holding current	$t_{vj} = t_{vj \max}, v_D = 0,5 V_{DRM}$	I_H	max. 0,25 V	
Einraststrom	latching current	$t_{vj} = 25^\circ\text{C}, v_D = 6 \text{ V}, R_A = 5 \Omega$	I_L	max. 300 mA	
Vorwärts- und Rückwärts-Sperrstrom	forward off-state and reverse currents	$t_{vj} = t_{vj \max}, i_T = 1 \text{ A}, di_G/dt = 1 \text{ A}/\mu\text{s}, t_g = 20 \mu\text{s}$	i_D, i_R	max. 1500 mA	
Zündverzug	gate controlled delay time	$t_{vj} = t_{vj \max}, v_D = V_{DRM}, v_R = V_{RRM}$ DIN IEC 747-6, $t_{vj} = 25^\circ\text{C}$ $i_{GM} = 1 \text{ A}, di_G/dt = 1 \text{ A}/\mu\text{s}$	t_{gd}	typ. 300 μ s	
Freiwerdezeit	circuit commutated turn-off time	$t_{vj} = t_{vj \max}, i_{TM} = I_{TAVM}$ $V_{RM} = 100 \text{ V}, v_{DM} = 0,67 V_{DRM}$ $-di_T/dt = 20 \text{ A}/\mu\text{s}, -di_T/dt = 10 \text{ A}/\mu\text{s}$	t_q		
Thermische Eigenschaften		Thermal properties			
Innerer Wärmewiderstand	thermal resistance, junction to case	Kühlfläche/cooling surface beidseitig/two-sided, $\Theta = 180^\circ \text{ sin}$	R_{thJC}	max. 0,0085 °C/W	
Übergangs-Wärmewiderstand	thermal resistance, case to heatsink	beidseitig/two-sided, DC Kühlfläche/cooling surface einseitig /single-sided	R_{thCK}	max. 0,0078 °C/W	
Höchstzul. Sperrsichttemperatur	max. junction temperature			max. 0,0025 °C/W	
Betriebstemperatur	operating temperature			max. 0,0050 °C/W	
Lagertemperatur	storage temperature			125 °C	
Mechanische Eigenschaften	Mechanical properties			-40...+125 °C	
Si-Elemente mit Druckkontakt, Amplifying-Gate, verzweigt	Si-pellet with pressure contact, amplifying gate, interdigitated			-40...+150 °C	
Anpreßkraft	clamping force		F	42...95 kN	
Gewicht	weight		G	typ. 1200 g	
Kriechstrecke	creepage distance			30 mm	
Feuchtekategorie	humidity classification	DIN 40040		C	
Schwingfestigkeit	vibration resistance	$f = 50 \text{ Hz}$		50 m/s ²	
Gehäuse	case			Titelseite / front page	

¹⁾) Gehäusegrenzstrom 38 kA (50Hz Sinushalbwelle). / Current limit of case 38 kA (50Hz sinusoidal half-wave).

T 2709 N

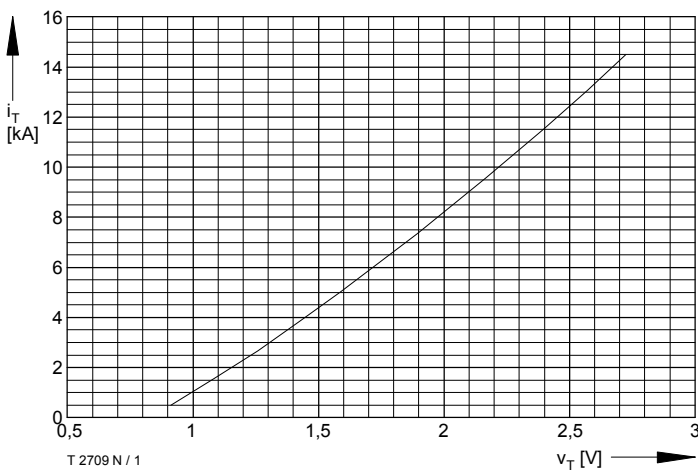


Bild / Fig. 1
Grenzdurchlaßkennlinie / Limiting on-state characteristic $i_T = f(v_T)$
 $t_{vj} = t_{vj \max}$

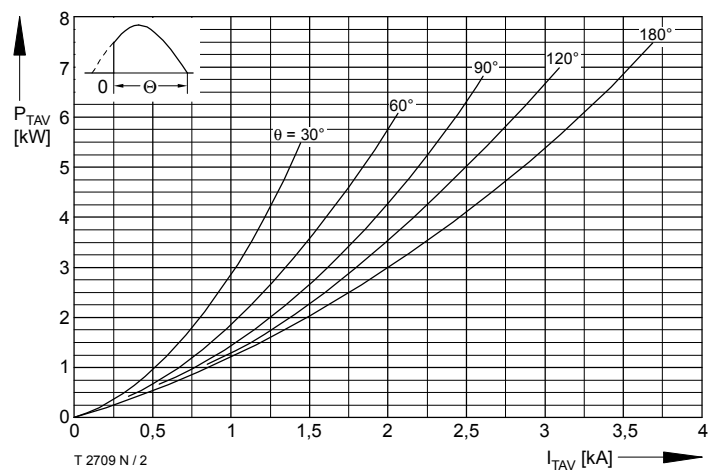


Bild / Fig. 2
Durchlaßverlustleistung / On-state power loss $P_{TAV} = f(I_{TAV})$
Parameter: Stromflußwinkel / Current conduction angle θ

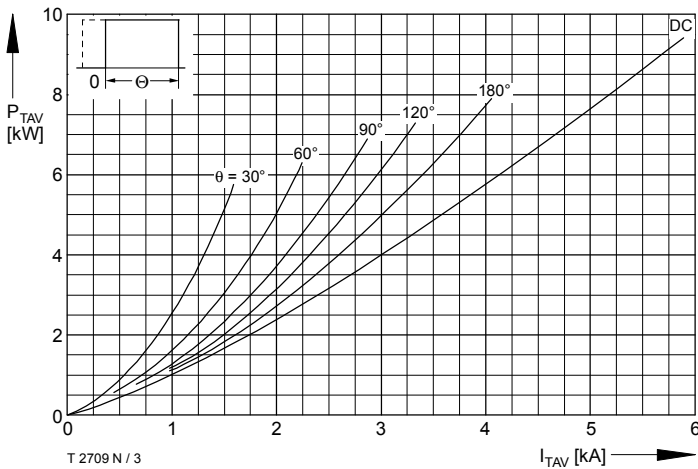


Bild / Fig. 3
Durchlaßverlustleistung / On-state power loss $P_{TAV} = f(I_{TAV})$
Parameter: Stromflußwinkel / Current conduction angle θ

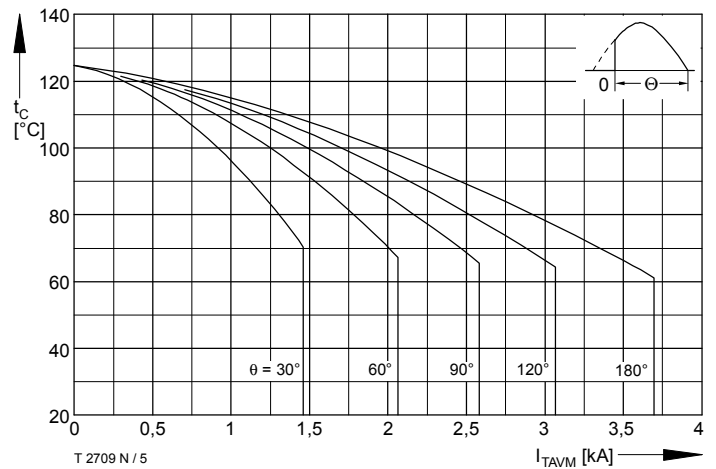


Bild / Fig. 5
Höchstzulässige Gehäusetemperatur / Maximum allowable case temperature $t_c = f(I_{TAVM})$
Beidseitige Kühlung / Two sided cooling
Parameter: Stromflußwinkel / current conduction angle θ

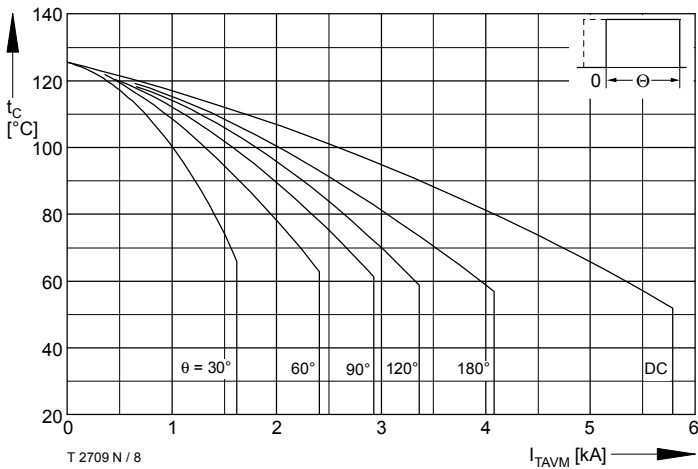


Bild / Fig. 8
Höchstzulässige Gehäusetemperatur / Maximum allowable case temperature $t_c = f(I_{TAVM})$
Beidseitige Kühlung / Two sided cooling
Parameter: Stromflußwinkel / current conduction angle θ

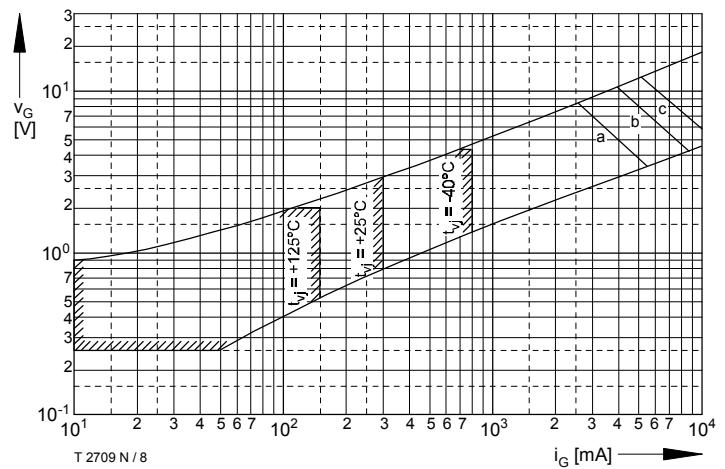


Bild / Fig. 8
Steuercharakteristik mit Zündbereichen / Gate characteristic with triggering areas $V_G = f(I_G)$, $V_D = 6 \text{ V}$
Parameter:
Steuerimpulsdauer / Puls duration t_0 [ms] 10 1 0,5
Höchstzulässige Spitzensteuerleistung / Maximum allowable peak gate power [W] 20 40 60

T 2709 N

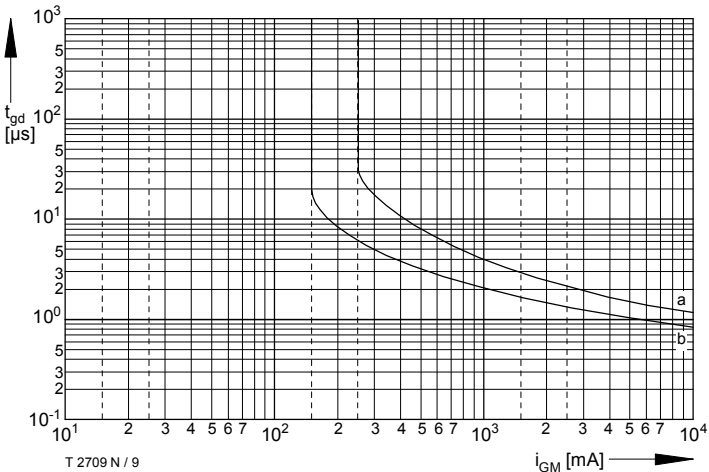


Bild / Fig. 9

Zündverzug / Gate controlled delay time $t_{gd} = f(i_{GM})$, $t_{vj} = 25^\circ\text{C}$,
 $\frac{di_G}{dt} = i_{GM}/1\mu\text{s}$
a - Maximaler Verlauf / Limiting characteristic
b - Typischer Verlauf / Typical characteristic

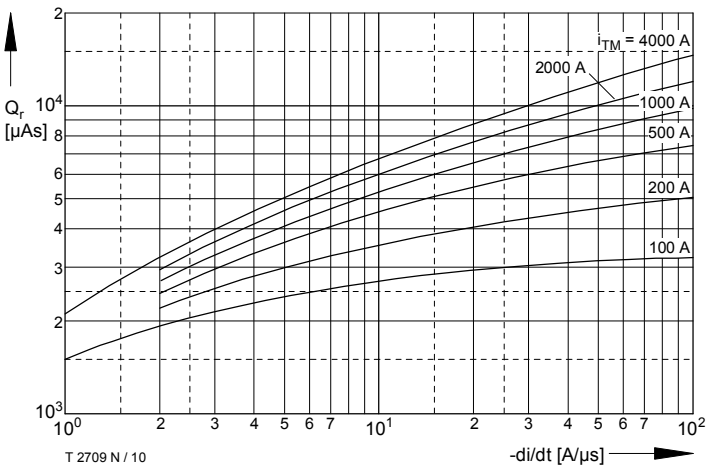


Bild / Fig. 10

Sperrverzögerungsladung / Recovered charge $Q_r = f(\frac{di}{dt})$
 $t_{vj} = t_{vj \text{ max}}$, $V_R \leq 0,5 V_{RRM}$, $V_{RM} = 0,8 V_{RRM}$
Parameter: Durchlaßstrom / On-state current i_{TM}

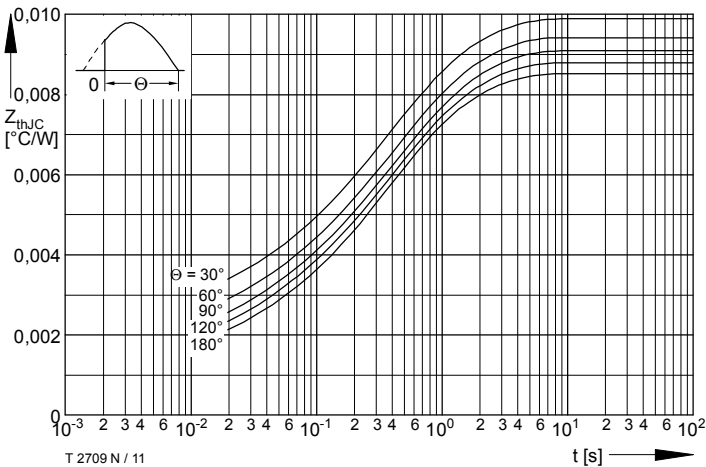


Bild / Fig. 11

Transienter innerer Wärmewiderstand / Transient thermal impedance
 $Z_{thJC} = f(t)$
Beidseitige Kühlung / Two-sided cooling
Parameter: Stromflußwinkel / Current conduction angle θ

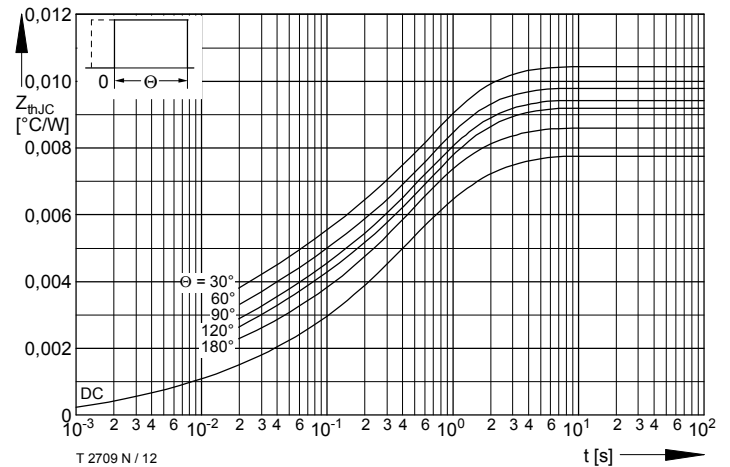


Bild / Fig. 12

Transienter innerer Wärmewiderstand / Transient thermal impedance
 $Z_{thJC} = f(t)$
Beidseitige Kühlung / Two-sided cooling
Parameter: Stromflußwinkel / Current conduction angle θ

Analytische Elemente des transienten Wärmewiderstandes Z_{thJC} pro Zweig für DC
Analytical elements of transient thermal impedance Z_{thJC} per arm for DC

Beidseitige Kühlung / Two-sided cooling

Pos. n	1	2	3	4	5	6
$R_{thn} [\text{°C/W}]$	0,00003	0,00039	0,00123	0,0028	0,00338	
$\tau_n [\text{s}]$	0,000055	0,00392	0,0152	0,2068	1,0914	

Analytische Funktion / Analytical function:

$$Z_{thJC} = \sum_{n=1}^{n_{\max}} R_{thn} (1 - e^{-\frac{t}{\tau_n}})$$